

23590

32



⑮ **BUNDESREPUBLIK
DEUTSCHLAND**



**DEUTSCHES
PATENT- UND
MARKENAMT**

⑫ **Offenlegungsschrift**
⑩ **DE 101 42 421 A 1**

⑤ Int. Cl.⁷:
G 01 T 1/164
G 01 N 23/20

⑲ Aktenzeichen: 101 42 421.3
⑳ Anmeldetag: 31. 8. 2001
㉑ Offenlegungstag: 3. 4. 2003

DE 101 42 421 A 1

⑦① Anmelder:

Forschungszentrum Jülich GmbH, 52428 Jülich,
DE; Scivis wissenschaftliche Bildverarbeitung
GmbH, 37085 Göttingen, DE

⑦④ Vertreter:

Gille Hrabal Struck Neidlein Prop Roos, 40593
Düsseldorf

⑦② Erfinder:

Erfinder wird später genannt werden

Die folgenden Angaben sind den vom Anmelder eingereichten Unterlagen entnommen

Prüfungsantrag gem. § 44 PatG ist gestellt

⑤④ Vorrichtung für SPECT-Untersuchungen

⑤⑦ Die Erfindung betrifft eine Vorrichtung sowie ein Ver-
fahren zur Tomographie, insbesondere zur Einzelgamma-
quanten-Tomographie (SPECT).

Die Vorrichtung zur Durchführung eines tomographi-
schen Verfahrens, insbesondere zur Durchführung einer
Einzelphotonen-Tomographie, weist einen Multi-Loch-
Kollimator und einen Detektor zur Erfassung von Gamma-
quanten oder Photonen auf, die durch den Multi-Loch-
Kollimator hindurchtreten.

Beim Verfahren zur Durchführung des tomographischen
Verfahrens ist der Abstand zwischen dem Objekt und dem
Multi-Loch-Kollimator kleiner gewählt als der Abstand
zwischen dem Multi-Loch-Kollimator und der Oberfläche
des Detektors.

Es kann mit hoher Ortsauflösung und Sensitivität das ge-
wünschte Ergebnis ermittelt werden.

BEST AVAILABLE COPY

DE 101 42 421 A 1

[0001] Die Erfindung betrifft eine Vorrichtung sowie ein Verfahren zur Tomographie, insbesondere zur Einzelgammaquanten-Tomographie (SPECT).

5 [0002] Die Einzelphotonen-Tomographie bezieht sich auf ein Verfahren nebst zugehörigen Vorrichtungen zur dreidimensionalen Darstellungen von Radiopharmaka, die in ein Objekt gebracht wurden. Als Objekt können Menschen oder Tiere vorgesehen sein. Die in das Objekt gebrachten Radiopharmaka senden Gammaquanten. Die Gammaquanten werden von der Vorrichtung erfasst und ausgewertet. Als Ergebnis der Auswertung wird die Lage, also die räumliche Verteilung der Radiopharmaka im Objekt erhalten. Die Lage der Radiopharmaka erlaubt wiederum Rückschlüsse auf das Objekt, so zum Beispiel auf eine Verteilung von Gewebe im Objekt.

10 [0003] Eine bekannte Vorrichtung zur Durchführung einer Einzelgammaquanten-Tomographie umfasst eine Gammakamera und einen vorgeschalteten Kollimator. Beim Kollimator handelt es sich im allgemeinen um eine Bleiplatte mit einer Vielzahl von senkrecht durch die Platte führenden Kanälen. Durch das Vorsehen der Kanäle wird sichergestellt, dass einerseits nur senkrecht einfallende Gammaquanten erfasst werden und andererseits eine ortsauflösende Messung möglich ist. Die Kamera wird samt Kollimator um das Objekt herum verfahren. Hierdurch erhält man eine Vielzahl von Ortsinformationen. Es handelt sich dabei um sogenannte Projektionsaufnahmen. Aus den gewonnenen Ortsinformationen rund um das Objekt herum kann anschließend die Lage der Radiopharmaka im Objekt ermittelt werden.

15 [0004] Um von den Gammaquanten verursachte Streustrahlung ausblenden zu können, wird im allgemeinen noch eine Energieinformation benötigt. Die Kamera ist daher in der Regel so beschaffen, dass mit ihr sogleich die Energie der einfallenden Gammaquanten ermittelt werden kann.

[0005] Streustrahlung weist grundsätzlich eine geringere Energie auf im Vergleich zur eigentlichen Messstrahlung. Es kann so Streustrahlung ausgeblendet werden, indem Gammaquanten mit niedriger Energie nicht berücksichtigt werden. Eine Obergrenze der Energie der Gammaquanten festzulegen kann ebenfalls von Interesse sein, um Hintergrundstrahlung ausblenden zu können.

25 [0006] Das vorbeschriebene Verfahren bzw. die vorbeschriebene Vorrichtung gehört zum allgemeinen Fachwissen, da solche Verfahren und Vorrichtungen seit mehr als dreißig Jahren eingesetzt werden.

[0007] Die Einzelgammaquanten-Tomographie (SPECT) und die Positronen-Emissionstomographie (PET) stellen Instrumente zur quantitativen Darstellung räumlicher Radiotracer-Verteilungen in vivo dar. Außer in der Humanmedizin lassen sich diese Verfahren in der pharmakologischen und präklinischen Forschung zur Entwicklung und Evaluation 30 neuartiger Tracer-Verbindungen einsetzen. Während in der PET heute diverse Systeme zur Untersuchung kleiner Labortiere zur Verfügung stehen, hat es im Bereich der SPECT entsprechende Entwicklungen bisher nicht oder in nur unzureichendem Maße gegeben, und das obwohl TC-99m und I-123-markierte Radiopharmaka in der Nuklearmedizin eine ungleich höhere Bedeutung haben als die PET-Nuklide.

35 [0008] Mit einem hochauflösenden und hochsensitiven Tier-SPECT ergäbe sich für die präklinische Forschung der Vorteil eines tierschonenden Verfahrens, mit dem sich aussagekräftige Studien dynamisch und wiederholbar an einem Individuum durchführen ließen. Dies wird dadurch begünstigt, dass sich bei den oben genannten Radioisotopen extrem hohe spezifische Aktivitäten erzielen lassen (ca. Faktor 100 gegenüber PET-Nukliden), welche für störungsfreie in vivo Messungen unerlässlich sind (geringe Massendosis). Hierzu sind begleitende Entwicklungen entsprechender Markierungsmethoden durchzuführen.

40 [0009] Um die Ortsauflösung gegenüber dem eingangs genannten Stand der Technik zu verbessern, wird ein Loch-Kollimator bei der Einzelgammaquanten-Tomographie eingesetzt. Ein Loch-Kollimator zeichnet sich durch ein einzelnes Loch aus, durch das die Gammaquanten hindurchtreten. Befindet sich das Objekt näher am Loch-Kollimator als die Oberfläche einer Gammakamera bzw. eines Detektors, so wird hierdurch schließlich eine vergrößerte Ortsauflösung erreicht. Durch den Loch-Kollimator hindurch treten die Gammaquanten nicht ausschließlich senkrecht. Stattdessen treten sie kegelförmig ein und wieder aus. Da der hinter dem Loch-Kollimator liegende Kegel größer ist als der Kegel vor dem Loch-Kollimator, wird im Ergebnis eine Verbesserung der Ortsauflösung im Vergleich zum eingangs genannten Stand der Technik erreicht.

45 [0010] In einem Loch-Kollimator ist eine kleine Durchtrittsöffnung bzw. ein kleines Loch vorzusehen, durch das die Gammaquanten hindurchtreten, um eine gute Ortsauflösung zu erhalten. Je kleiner ein Loch jedoch ist, desto weniger Gammaquanten treten durch dieses Loch hindurch. Mit kleiner werdendem Loch sinkt daher nachteilhaft die Sensitivität der Vorrichtung. Sensitivität ist definiert als das Verhältnis von gemessener Zählrate zur im Objekt vorhandenen Aktivität.

[0011] Wird die Sensitivität zu gering, so ist schließlich die Durchführung einer Einzelgammaquanten-Tomographie nicht mehr möglich.

55 [0012] Aufgabe der Erfindung ist die Schaffung einer Vorrichtung nebst zugehörigem Verfahren der eingangs genannten Art, mit der hochauflösend und hochsensitiv gemessen werden kann.

[0013] Die Aufgabe der Erfindung wird durch eine Vorrichtung mit den Merkmalen des ersten Anspruchs sowie durch ein Verfahren mit den Merkmalen des Nebenanspruchs gelöst. Vorteilhafte Ausgestaltungen ergeben sich aus den Unteransprüchen.

60 [0014] Die anspruchsgemäße Vorrichtung umfasst einen Multi-Loch-Kollimator nebst einem Detektor zur Erfassung der Gammaquanten, die durch den Multi-Loch-Kollimator hindurchtreten. Der Kollimator weist also eine Mehrzahl an Durchtrittsöffnungen auf. In einer Ausgestaltung der Erfindung ist der Detektor so beschaffen, dass dieser auch die Energie der auftreffenden Gammaquanten zu bestimmen vermag.

65 [0015] Da der Kollimator mehrere Löcher aufweist, steigt die Sensitivität der Vorrichtung entsprechend an. Der Einsatz eines Loch-Kollimators hat gegenüber dem Einsatz solcher Kollimatoren, mit denen nur senkrecht einfallende Strahlen erfasst werden, den Vorteil der hohen Ortsauflösung. Somit steht eine Vorrichtung mit guter Ortsauflösung und guter Sensitivität zur Verfügung.

[0016] Während des Betriebes der Vorrichtung befindet sich das Objekt näher am Multi-Loch-Kollimator als die Ka-

mera- bzw. Detektoroberfläche, um eine gute Ortsauflösung zu erzielen. Bei der Vorrichtung befindet sich die Halterung für das Objekt (Patientenliege) daher näher am Multi-Loch-Kollimator als die Kamera bzw. der Detektor.

[0017] Die Abstände der einzelnen Durchtritte oder Löcher im Multi-Loch-Kollimator sind vorzugsweise so gewählt, dass sich die Kegel, die auf der Kamera auftreffen, allenfalls teilweise überschneiden. Zur Erzielung einer guten Ortsauflösung sowie guter Sensitivität ist es vorteilhaft, Überschneidungsbereiche zuzulassen. Diese betragen in einer Ausgestaltung der Erfindung nicht mehr als 30%, vorzugsweise bis zu 70% der Gesamtfläche eines Kegels, der durch die Gammaquanten gebildet wird, die durch ein Loch des Multi-Loch-Kollimators hindurchtreten.

[0018] In der herkömmlichen Loch-Tomographie (Pinhole-Tomographie) liegt das Lochzentrum auf der Mittensenkrechten des Detektors. Ferner steht die Loch-Achse, d. h. die Symmetrieachse des Kollimatorlochs, senkrecht zum Detektor. Es wird dann ein Rekonstruktionsverfahren verwendet, bei dem davon ausgegangen wird, dass das Gammaquant, welches vom Zentrum des Objekts auf die Kamera fällt, mit der Kameraoberfläche einen rechten Winkel bildet. Die Grundfläche des Kegels, die auf der Kamera abgebildet wird, ist dann grundsätzlich kreisförmig.

[0019] Diese Situation ist beim Einsatz eines Multi-Loch-Kollimators vielfach nicht der Fall. Es wird daher in einer Ausgestaltung der Erfindung ein Rekonstruktionsverfahren bereit gestellt, welches die abweichenden Bedingungen berücksichtigt. Fällt ein vom Zentrum des Objekts stammendes Gammaquant nicht mehr senkrecht auf die Oberfläche der Kamera bzw. des Detektors auf, so wird kein kreisförmiger Kegel (idealisierte Zustand) auf der Kameraoberfläche abgebildet. Stattdessen bildet sich der Kegel grundsätzlich in Form einer Ellipse auf der Kamera ab. Erfindungsgemäß wird dieses Problem gelöst, indem ein iteratives Rekonstruktionsverfahren eingesetzt wird. Ausgangspunkt des iterativen Rekonstruktionsverfahrens ist eine angenommene Verteilung im Objekt und zwar in der Regel eine räumliche Verteilung. Es wird dann berechnet, welches Messergebnis die angenommene Verteilung erzielen würde. Das berechnete Ergebnis wird mit dem tatsächlich gemessenen verglichen. Anschließend wird eine neue geänderte Verteilung genommen. Wiederum wird das auf der Kamera abgebildete Ergebnis dieser neuen Verteilung berechnet. Es wird erneut verglichen. Es wird festgestellt, ob die neue Verteilung dem gemessenen Ergebnis besser entspricht. Auf diese Weise wird nach Durchführung hinreichend vieler Schritte eine Verteilung ermittelt, deren berechnetes Ergebnis mit dem tatsächlichen Ergebnis (Messergebnis) hinreichend gut übereinstimmt. Das iterative Rekonstruktionsverfahren ist insbesondere dann beendet, wenn mit einer vorgegebenen Genauigkeit das berechnete Ergebnis mit dem gemessenen übereinstimmt. Das Iterationsverfahren umfasst also eine sogenannte Vorwärtsprojektion, also die Berechnung des Ergebnisses einer angenommenen Verteilung.

[0020] Das iterative Verfahren weist ferner den Vorteil auf, dass Überlappungsbereiche der auf der Kamera- bzw. Detektoroberfläche abgebildeten Kegel berechnet und mit dem tatsächlichen Ergebnis verglichen werden können. Es ist daher auch aus diesem Grund anderen Rekonstruktionsverfahren vorzuziehen. Es ist also so möglich, Überlappungsbereiche zuzulassen und so zu guten Ortsauflösungen zu gelangen.

[0021] In einer weiteren Ausgestaltung der Erfindung umfasst der Multi-Loch-Kollimator eine Platte, die aus Wolfram und Iridium gefertigt ist. Diese Materialien besitzen einen besseren Schwächungskoeffizienten gegenüber Gammaquanten im Vergleich zu Blei. Iridium ist unter den genannten Materialien am besten geeignet, um Gammaquanten zu schwächen. Iridium ist jedoch sehr teuer. Daher wird aus Kostengründen Wolfram an den Stellen eingesetzt, bei denen die Anforderungen an das Schwächungsverhalten weniger groß sind. Aus Iridium werden die Teile der Platte gefertigt, bei denen die Anforderungen an die Schwächung von Gammaquanten besonders groß sind. Es handelt sich dabei insbesondere um die Bereiche der Platte, die an die Löcher angrenzen.

[0022] Ein Loch in der Platte mündet vorteilhaft von beiden Seiten trichterförmig in die Platte ein. Hier sind die Anforderungen an die Schwächung besonders groß und zwar insbesondere an der Lochwandung. Daher sind die Trichterwände bevorzugt aus Iridium gefertigt. Die Platte ist dann typischerweise 3 bis 10 mm dick.

[0023] Gammaquanten, die vom Inneren des Objektes ausgehen, werden in der Regel gewebeabhängig geschwächt. Gemäß Stand der Technik wird zur Berücksichtigung dieser Schwächung bei der Auswertung von einem homogenen Schwächungskoeffizienten ausgegangen, der dem Schwächungskoeffizienten von Wasser entspricht. Daneben ist die Schwächung von den Umrissen des Objektes abhängig. In einer Ausgestaltung der Erfindung wird im Rahmen der Auswertung der äußere Umriss des Objektes ermittelt und die Schwächung in Abhängigkeit vom Umriss kalkuliert. Auf diese Weise werden weiter verbesserte Ergebnisse erhalten.

[0024] Maß für den äußeren Umriss des Objektes ist die Compton-Streustrahlung. In einer Ausgestaltung der Erfindung wird daher die Compton-Streustrahlung zum Beispiel in einem sogenannten Compton-Fenster gemessen. Im Rekonstruktionsverfahren wird die Compton-Streustrahlung berücksichtigt und hieraus der Umriss des Objektes ermittelt.

[0025] Trifft ein Gammaquant auf eine Kamera bzw. den Detektor auf, so wird der Ort des Auftreffens mit einer kamera- oder detektortypischen Ungenauigkeit gemessen. In einer weiteren Ausgestaltung des Verfahrens wird bei der Vorwärtsprojektion, die dem iterativen Rekonstruktionsverfahren zugrunde liegt, die Abbildungseigenschaft, also die kamera- oder detektortypische Ungenauigkeit bei der Auswertung berücksichtigt. Wiederum gelingt die Berücksichtigung der Messungenauigkeit durch ein Iterationsverfahren der vorgenannten Art zuverlässig.

[0026] Befindet sich eine im Objekt befindliche strahlende Quelle verhältnismäßig weit von dem Multi-Loch-Kollimator entfernt (also in einem Bereich des Objekts, der besonders weit weg vom Kollimator liegt), so nimmt die Sensitivität ab. In einer Ausgestaltung des Rekonstruktionsverfahrens wird bei der Vorwärtsprojektion diese abnehmende Sensitivität berücksichtigt.

[0027] Das Abbildungsverhalten der Kamera bzw. des Detektors hängt ebenfalls von der Entfernung ab, die zwischen der strahlenden Quelle und dem Multi-Loch-Kollimator besteht. Dieses sich entfernungsabhängig ändernde Abbildungsverhalten wird in einer Ausgestaltung des Verfahrens ebenfalls iterativ berücksichtigt.

[0028] Nachfolgend werden einschlägige Programmteile für ein Iterationsverfahren angegeben, welches die vorgenannten erfindungsgemäßen Schritte abzuarbeiten vermag. Die Programme umfassen die nachfolgend genannten Eingabe-Parameter. Ferner werden typische Werte solcher Eingabeparameter angegeben. Der Begriff "Pinhole" wird synonym für den Begriff "Loch" (des Multi-Loch-Kollimators) verwendet.

[0029] Soweit die Berechnung der Kontur bzw. des Umrisses des Objekts betroffen ist, wird die Berechnung der Ob-

jektkontur in einer Ausführungsform in der "nullten" Iteration vorgenommen. Eine eigentlich die Bildqualität degradierende Eigenschaft der Comptonstreuung wird hierfür ausgenutzt: die richtungsfalsch detektierten Gammaquanten.

[0030] Richtungsfalsch detektierte Gammaquanten stellen einen Untergrund in den Projektionen dar, der nachhaltig die Bildqualität verschlechtert. Sie können jedoch auch von Nutzen sein, Sie bewirken, dass in praktisch allen klinischen Fällen die gesamte Ausdehnung des Patienten in den Projektionen erscheint. Auch wenn sich ein Tracer, also ein Radiopharmakon sehr spezifisch an einem eng umgrenzten Organ anlagern sollte, so scheinen dennoch auch Quanten von allen anderen zur Abbildung gebrachten Bereichen des Patienten zu stammen. Tatsächlich sind dies Quanten, die ihren Ursprung in dem eng umgrenzten Organ haben, aufgrund der Comptonstreuung jedoch scheinen sie den ganzen Patienten zu "illuminieren". Dieser Umstand wird ausgenutzt, um die Objektkontur zu berechnen.

[0031] Die Berechnung erfolgt mehrstufig:

1. Erstellung "binärer" Projektionen. Sie stellen eine Vereinfachung der eigentlichen Projektionen dar, insofern, dass bei ihnen jeder Pixelinhalt größer Null auf Eins gesetzt wird.

Wesentlich dafür ist eine benutzergesteuerte Schwellsetzung, die nach Schlüssigkeit die Projektion des eigentlichen Untersuchungsobjektes, des Patienten also, vom Hintergrund separiert. Die Berechnung der Schwelle orientiert sich an einem gemittelten Maximum, das aus sämtlichen Projektionen gebildet wird.

2. Rückprojektion der binären Projektionen in den Objektraum.

3. Anhand der "Vielfachheit" der Voxel (kleines meist kubisches Volumenelement), d. i. die Häufigkeit, mit der ein Voxel unter der jeweiligen Kollimatorgeometrie über alle Winkel von den Projektionen gesehen wird, setzt eine (für die jeweilige Geometrie heuristisch ermittelte) Schwelle fest, welche Voxel in allererster Näherung zum Körperinnenraum gehören. (Die Begrenzung des Körperinnenraumes ist die Körperkontur.)

4. Mehrmalige Faltung mit 3d-Faltungskern

5. Wiederholung Punkt 3

6. Zweimaliges Durchlaufen von:

a) 3d-Faltung

b) Hinzunahme der Voxel, in die etwas hineingefaltet wurde, zum Körperinnenraum.

Eingabe-Aufforderung

Projektionen (float): maus.prj

Breite der Proj. [pix]: 266

Schichten in Proj. [pix]: 193

Anzahl der Winkel: 60

Pixelgröße in Proj. [mm]: 2

Projektionen glätten (nein = 0/ja = 1): 1

Abstand RotAchse/Bildebene [mm]: 155

Name des Aperturmusters (text): apertur.txt

Bedeutung

Die gemessenen Projektionen

Transversale Dimension

Axiale Dimension

Anzahl der Projektionen

Größe der Projektionspixel

Glättung der gemessenen Projektionen

Abstand Bildebene zu Rotationsachse

Name der Aperturdatei (siehe unten)

Dicke des Kristalls [mm]: 10

Absorption des Kristalls [1/cm]: 1.173

Intrinsische Auflösung [mm]: 3.3

Abs. Intensität des Gammas [%]: 90

Dicke des Szintillators

Absorptionskoeffizient Kristall

Intrinsische Auflösung der Kamera

Abs. Intensität der Gammalinie

Startverteilung (float): maus.sta

Breite der Rekon. [pix]: 112

Schichten der Rekon. [pix]: 262

Voxelgröße in Rekon. [mm]: 0.4

Zahl der Iterationen: 30

Volumen glätten (nein = 0/ja = 1): 1

Abbildungsakt. voxelweise (nein = 0/ja = 1): 0

Startverteilung der Rekonstruktion

Transversale Dimension

Axiale Dimension

Größe der Objektvoxel

Anzahl der Iterationen

Glättung der Volumendaten

PSF voxelweise berücksichtigen oder mit mittlerer PSF falten?

Abw. vom Original (nein = 0/ja = 1): 0

Stammmname des Outputs: maus

Speichern alle?: 5

Abweichung zum Original bestimmen?

Namensstamm der Output-Dateien

Zwischenergebnisse speichern?

Aufbau der Aperturdatei

[0032] Eine Aperturdatei hat typischerweise folgenden Aufbau:

7

45	18.435	66.503	1.5	60	22.278	21.53	27.9
45	-18.435	55.858	1.5	60	-22.278	26.164	27.9
45	36.871	13.306	1.5	60	39.33	-6.8974	27.9
45	0	2.6613	1.5	60	0	-1.3859	27.9
45	-36.871	-7.9839	1.5	60	-39.33	4.1513	27.9
45	18.435	-50.535	1.5	60	22.278	-28.355	27.9
45	-18.435	-61.181	1.5	60	-22.278	-23.089	27.9

[0033] Beim ersten Eintrag handelt es sich um die Anzahl der Löcher. Jede folgende Zeile beschreibt ein Pinhole. Die Bedeutung der Einträge ist folgende:

Spalte	Bedeutung	
1	x-Koordinate des Pinholemittelpunkts, d. h. Abstand des Pinholes von der Rotationsachse in mm	5
2	y-Koord. des Pinholes, d. h. transversale Auslenkung des PH	
3	z-Koord. des Pinholes, d. h. axiale Auslenkung des PH	
4	Innendurchmesser des doppeltrichterförmigen Pinholes	
5	Öffnungswinkel des Pinholes in Grad	
6	Seitlicher, d. h. transversaler Neigungswinkel der Pinhole-Achse	10
7	Axialer Neigungswinkel der PH-Achse	
8	Schwächungskoeffizient des Aperturmateriails in 1/cm	

```

/*****
mpr.c                               Autoren: Dr. Nils Schramm (FZ Jülich)
                                   Dr. Gernot Ebel (Fa. Scivis)

                                   Datum: 20.08.2001

MLEM-Variante der iterativen Multi-Pinhole-Rekonstruktion. Der
Algorithmus beruecksichtigt die ortsabhaengige Sensitivitaet und die
ortsabhaengige Abbildungsfunktion einer MP-Apertur mit beliebig
positionierten/geneigten Pinholes.
*****/

#include <stdio.h>
#include <stdlib.h>
#include <sys/stat.h>
#include <unistd.h>
#include <math.h>
#include <time.h>

#include "/home/schramm/src/util/util.h"

#define Wd2 M_PI                      /* Halber Winkelbereich */
#define Q 250                        /* Aufloesung der PSF */
#define U 2.5                        /* PSF-Breite (98.7%) */

#define sci(m,k,l)  sci[(m)*KL+(k)*L+1]  /* Gemess. Projektionen */
#define prj(l,k)    prj[(l)*K+k]         /* Berechn. Projektion */
#define rec(j,i,s)  rec[(j)*NS+(i)*S+s]  /* Rekonstruktion */
#define rot(j,i,s)  rot[(j)*NS+(i)*S+s]  /* Rotierte Rekon. */
#define psf(h,l,k)  psf[(h)*CC+(l+Cd2)*C+k+Cd2] /* Abbildungsfkt. */
#define kn2(l,k)    kn2[(l+Ed2)*E+k+Ed2]  /* 2D-Kern */
#define kn3(l,k,h)  kn3[(l+Ed2)*EE+(k+Ed2)*E+h+Ed2] /* 3D-Kern */

int N, S, M, K, L, NN, NS, KL, T, C, CC, Cd2;
float P, A, q, p, W, cth, cmu, gin, res;
float *x2, *y2, *z2, *hd, *alf, *psi, *the, *amu;

float *PSF( float *sen, unsigned char *ise, unsigned char *ihb );
void SUM( float *prj, float *rot, float *sen, unsigned char *ise,
          float *psf, unsigned char *ihb );
void PRJ( float *prj, float *rot, float *sen, unsigned char *ise,
          float *psf, unsigned char *ihb );
void QUO( float *prj, float *sci, int m );
void REP( float *rot, float *ron, float *prj, float *sen,
          unsigned char *ise );
void NRM( float *cor, float *nrm );
void COR( float *rec, float *cor );
void SAV( float *rec, float *rot, char *basen, int iter );
void ROT( float *rot, float *rec, float phi );
void RAY( float *V, float *H, float *a, float *b, float *c, float *d,
          float r, float t, float i2sico );
void PIX( float *F, float *a, float *b, float *c, float *d, float r,
          float t, float i2sico, float ta, float ct );
void SM2( float *sci, float *prj );
void SM3( float *rec, float *rot );
float LLH( float *prj, float *sci, int m );
void DEV( FILE *devf, float *obj, float *rec, float llh, int n );

/*****
MAIN(): Hauptprogramm mit User-Eingaben, Speicherinitialisierung und
der eigentlichen Rekonstruktionsschleife.
*****/

```

```

main()
{
    unsigned char *ise, *ihb;
    char scin[256], aptn[256], stan[256], objn[26], basen[256], fulln[256];
5   int s, i, j, m, k, l, t, stat, ticks, aflag, dflag, pflag, vflag, I, nsave;
    float *sci, *prj, *rec, *rot, *cor, *nrm, *ron, *sen, *psf, *obj, llh;
    FILE *parf, *aptf, *devf;

    /*===== 0) Eingaben vom Anwender =====*/

10   printf( "\nProjektionen (float): " );
    scanf( "%s", scin );
    printf( "Breite der Proj. [pix]: " );
    scanf( "%i", &L );
    printf( "Schichten in Proj. [pix]: " );
15   scanf( "%i", &K );
    printf( "Anzahl der Winkel: " );
    scanf( "%i", &M );
    printf( "Pixelgroesse in Proj. [mm]: " );
    scanf( "%g", &P );
    printf( "Projektionen glaetten (nein=0/ja=1): " );
20   scanf( "%i", &pflag );
    printf( "Abstand RotAchse/Bildebene [mm]: " );
    scanf( "%g", &A );
    printf( "Name d. Aperturmusters (text): " );
    scanf( "%s", aptn );
    printf( "\n" );

25   printf( "Dicke des Kristalls [mm]: " );
    scanf( "%g", &cth );
    printf( "Absorption d. Kristalls [1/cm]: " );
    scanf( "%g", &cmu );
    printf( "Intrinsische Aufloesung [mm]: " );
30   scanf( "%g", &res );
    printf( "Abs. Intensitaet d. Gammas [%]: " );
    scanf( "%g", &gin );
    printf( "\n" );

    printf( "Startverteilung (float): " );
35   scanf( "%s", stan );
    printf( "Breite der Rekon. [pix]: " );
    scanf( "%i", &N );
    printf( "Schichten der Rekon. [pix]: " );
    scanf( "%i", &S );
    printf( "Voxelgroesse in Rekon. [mm]: " );
40   scanf( "%g", &p );
    printf( "Zahl der Iterationen: " );
    scanf( "%i", &I );
    printf( "Volumen glaetten (nein=0/ja=1): " );
    scanf( "%i", &vflag );
    printf( "Abbildungsfkt. voxelweise (nein=0/ja=1)?: " );
45   scanf( "%i", &aflag );
    printf( "\n" );

    printf( "Abw. vom Original (nein=0/ja=1)?: " );
    scanf( "%i", &dflag );
    if( dflag == 1 )
50   {
        printf( "Originaldaten (float): " );
        scanf( "%s", objn );
    }
    printf( "Stammmname d. Outputs: " );
    scanf( "%s", basen );
55   printf( "Speichern alle?: " );
    scanf( "%i", &nsave );
    printf( "\n" );

    /*===== 1) Parameter wegschreiben =====*/

60   sprintf( fulln, "%s.par", basen );
    parf = FOPEN( fulln, "wt" );

    fprintf( parf, "\nAlgorithmus: mpr.c\n" );
    fprintf( parf, "Parameterdatei (text): %s.par\n", basen );
65

```

```

fprintf( parf, "\n" );

fprintf( parf, "Projektionen (float): %s\n", scin );
fprintf( parf, "Breite der Proj. [pix]: %i\n", L );
fprintf( parf, "Schichten in Proj. [pix]: %i\n", K );
fprintf( parf, "Anzahl der Winkel: %i\n", M );
fprintf( parf, "Pixelgroesse in Proj. [mm]: %g\n", P );
fprintf( parf, "Projektionen glaetten (nein=0/ja=1): %i\n", pflag );
fprintf( parf, "Abstand Bildebene/RotAchse [mm]: %g\n", A );
fprintf( parf, "Name d. Aperturmusters (text): %s\n", aptn );
fprintf( parf, "\n" );

fprintf( parf, "Dicke des Kristalls [mm]: %g\n", cth );
fprintf( parf, "Absorption d. Kristalls [1/cm]: %g\n", cmu );
fprintf( parf, "Intrinsische Aufloesung [mm]: %g\n", res );
fprintf( parf, "Abs. Intensitaet d. Gammas [%]: %g\n", gin );
fprintf( parf, "\n" );

fprintf( parf, "Startverteilung (float): %s\n", stan );
fprintf( parf, "Breite der Rekon. [pix]: %i\n", N );
fprintf( parf, "Schichten der Rekon. [pix]: %i\n", S );
fprintf( parf, "Voxelgroesse in Rekon. [mm]: %g\n", p );
fprintf( parf, "Zahl der Iterationen: %i\n", I );
fprintf( parf, "Volumen glaetten (nein=0/ja=1): %i\n", vflag );
fprintf( parf, "Abbildungsfkt. voxelweise (nein=0/ja=1)?: %i\n", aflag );
fprintf( parf, "\n" );

fprintf( parf, "Abw. vom Original (nein=0/ja=1)?: %i\n", dflag );
if( dflag == 1 )
{
    fprintf( parf, "Originaldaten (float): %s\n", objn );
    fprintf( parf, "Abweichungsdatei (text): %s.dev\n", basen );
}
fprintf( parf, "Rekonstruktion: %s.rnn\n", basen );
fprintf( parf, "Speichern alle?: %i\n", nsave );
fprintf( parf, "\n" );

FCLOSE( parf );

/*===== 2) Aperturmuster einlesen =====*/

fprintf( stderr, "Initializing...\n" );

aptf = FOPEN( aptn, "rt" );
fscanf( aptf, "%i", &T );

x2 = MALLOC( T*sizeof( float ) );
y2 = MALLOC( T*sizeof( float ) );
z2 = MALLOC( T*sizeof( float ) );
hd = MALLOC( T*sizeof( float ) );
alf = MALLOC( T*sizeof( float ) );
psi = MALLOC( T*sizeof( float ) );
the = MALLOC( T*sizeof( float ) );
amu = MALLOC( T*sizeof( float ) );

for( t=0; t<T; t++ )
{
    stat = fscanf( aptf, "%g%g%g%g%g%g%g", &x2[t], &y2[t], &z2[t], &hd[t],
&alf[t], &psi[t], &the[t], &amu[t] );

    if( stat == EOF )
        ERROR( "MAIN(): Fehlerhaftes Aperturmuster!" );

    alf[t] = M_PI*alf[t]/180;
    psi[t] = M_PI*psi[t]/180;
    the[t] = M_PI*the[t]/180;
    amu[t] = amu[t]/10;
}

FCLOSE( aptf );

/*===== 3) Speicher anfordern und Felder initialisieren =====*/

if( nsave < 1 || nsave > I )
    /* nur sinnvolle Werte */

```

```

    nsave = I;

    cmu = cmu/10;
    W = 2*Wd2;
    NN = N*N;
    NS = N*S;
    KL = K*L;

    /* Kristall-Mue in 1/mm */
    /* Voller Winkelbereich */
    /* Konstanten */

    sci = MALLOC( M*KL*sizeof( float ) );
    prj = MALLOC( KL*sizeof( float ) );
    rec = MALLOC( NN*S*sizeof( float ) );
    rot = MALLOC( NN*S*sizeof( float ) );
    cor = MALLOC( NN*S*sizeof( float ) );
    nrm = MALLOC( NN*S*sizeof( float ) );
    ron = MALLOC( NN*S*sizeof( float ) );
    sen = MALLOC( T*Q*sizeof( float ) );
    ise = MALLOC( T*NN*S*sizeof( unsigned char ) );
    inh = MALLOC( T*NN*S*sizeof( unsigned char ) );

    FREAD( sci, sizeof( float ), M*KL, scin );
    FREAD( rot, sizeof( float ), NN*S, stan );

    if( pflag == 1 )
        SM2( sci, prj );

    for( j=0; j<N; j++ )
        for( i=0; i<N; i++ )
            for( s=0; s<S; s++ )
                rec[j*NS+i*S+s] = rot[s*NN+i*N+j];

    psf = PSF( sen, ise, inh );

    if( dflag == 1 )
    {
        obj = MALLOC( NN*S*sizeof( float ) );

        FREAD( rot, sizeof( float ), NN*S, objn );

        for( j=0; j<N; j++ )
            for( i=0; i<N; i++ )
                for( s=0; s<S; s++ )
                    obj[j*NS+i*S+s] = rot[s*NN+i*N+j];

        sprintf( fulln, "%s.dev", basen );
        devf = FOPEN( fulln, "wt" );
    }

    /*===== 4) Rekonstruktion =====*/

    for( i=0; i<I; i++ )
    {
        printf( "Iteration %i von %i\n", i+1, I );

        ticks = clock();

        if( dflag == 1 )
            _llh = 0;

        if( vflag == 1 )
            SM3( rec, rot );

        SET_FLT( cor, NN*S, 0 );
        SET_FLT( nrm, NN*S, 0 );

        for( m=0; m<M; m++ )
        {
            fprintf( stderr, "%4i", m+1 );

            SET_FLT( rot, NN*S, 0 );
            ROT( rot, rec, -m*W/M );

            if( aflag == 0 )
                SUM( prj, rot, sen, ise, psf, inh );
            else
        }
    }

```



```

PRJ( prj, rot, sen, ise, psf, ihb );

if( dflag == 1 )
    llh += LLH( prj, sci, m );          /* Log-Likelh. */
    QUO( prj, sci, m );                 /* Quotient */
    REP( rot, ron, prj, sen, ise );     /* rueckprojizieren */
    ROT( cor, rot, m*W/M );             /* rueckrotieren */
    ROT( nrm, ron, m*W/M );
}

NRM( cor, nrm );                       /* Fakt. normieren */

if( vflag == 1 )                       /* Fakt. glaetten */
    SM3( cor, rot );

COR( rec, cor );                       /* Korrekturschritt */

printf( "\nDauer: %g\n\n", (float)(clock()-ticks)/CLOCKS_PER_SEC );

if( dflag == 1 )
    DEV( devf, obj, rec, llh, i+1 );   /* Abweichung */

if( (i+1)%nsave == 0 )
    SAV( rec, rot, basen, i+1 );       /* speichern */
}

SAV( rec, rot, basen, I );             /* letzten immer */
/*****
PSF(): Berechnet die Sensitivitaet und die Punktbildbreite fuer das
gesamte Rekonstruktionsvolumen.
*****/

float *PSF( float *sen, unsigned char *ise, unsigned char *ihb )
{
    unsigned char *pis, *pih;
    int s, i, j, h, k, l, t, Kml, Lml;
    float x0, y0, z0, x1, y1, y3, z3, X2, Z3, xlq, rdq, mrq;
    float Lmld2, Kmld2, AdP, mdP, pmdP, oy, oz, dy, dz;
    float oe, fac, smi, sma, hmi, hma, hwb, *tse, *pts, *pse;
    float xv, yv, zv, Yv, Zv, xvq, yvq, xr, yr, zr, br, xvr, yvr;
    float del, coa, cob, cog, bvq, bv, skp, nww, sum;
    float pma, pmq, mpl, mlq, dq, hdq, req, *psf;

    Kmld2 = (K-1)/2.0;                  /* Konstanten */
    Lmld2 = (L-1)/2.0;
    Kml = K - 1;
    Lml = L - 1;

    x0 = -p*(N-1)/2.0;                  /* Untere Ecke des FOV */
    y0 = -p*(N-1)/2.0;
    z0 = -p*(S-1)/2.0;

    req = res*res;                      /* Quadrat d. Intrins. */
    mrq = p*p*N*N/4.0;                  /* Quadrat d. FOV-Radius */

    hmi = FLT_MAX;                      /* Min. und Max. der HWB */
    hma = -FLT_MAX;

    for( t=0; t<T; t++ )
    {
        mpl = (A-x0)/(x2[t]-x0);        /* Min. Vergrößerung */
        pma = p*(mpl - 1);
        mlq = mpl*mpl;
        pmq = pma*pma;

        dq = hd[t]*hd[t]*mlq;           /* Min. Punktbildbreite */
        dq = dq*cos( alf[t]/2 );
        dq = dq + pmq + req;
        hwb = sqrt( dq )/F;
    }
}

```

```

if( hwb < hmi )
    hmi = hwb;

    mpl = (A+x0)/(x2[t]+x0);          /* Max. Vergroesserung */
5   pma = p*(mpl - 1);
    mlq = mpl*mpl;
    pmq = pma*pma;

    xr = 1;                          /* Winkel PH/Kristall */
    yr = tan( psi[t] );
10   zr = tan( the[t] );
    br = sqrt( 1 + yr*yr + zr*zr );
    del = acos( xr/br );

    dq = hd[t]*hd[t]*mlq;             /* Max. Punktbildbreite */
    dq = dq + pmq;
15   dq = dq/cos( del + alf[t]/2 );
    dq = dq + req;
    hwb = sqrt( dq )/P;

    if( hwb > hma )
        hma = hwb;
20 }

C = U*hma;                          /* Dimension d. PSF */
if( C%2 == 0 )
    C++;
25 CC = C*C;
    Cd2 = C/2;

    psf = MALLOC( Q*CC*sizeof( float ) );          /* Speicher PSF */

    for( h=0; h<Q; h++ )                      /* PSF belegen */
30 {
        sum = 0;
        hwb = hmi + h*(hma-hmi)/(Q-1);

        for( l=-Cd2; l<=Cd2; l++ )
            for( k=-Cd2; k<=Cd2; k++ )
35                 if( 1+l + k*k <= U*U*hwb*hwb/4 )          /* max. 98.7% */
                    {
                        psf(h,l,k) = exp( -2.772589*(1+l + k*k)/(hwb*hwb) );
                        sum = sum + psf(h,l,k);
                    }
                    else
40                 {
                        psf(h,l,k) = 0;
                    }

        for( k=-Cd2; k<=Cd2; k++ )                /* normieren */
            for( l=-Cd2; l<=Cd2; l++ )
45                 psf(h,l,k) = psf(h,l,k)/sum;
    }

    tse = MALLOC( NN*S*sizeof( float ) );          /* temp. Sen-Feld */

    pse = sen;
50   pis = ise;
    pih = ihb;

    for( t=0; t<T; t++ )                      /* Schleife ue. Loecher */
    {
        fprintf( stderr, "Calculating the PSF: %i/%i\r", t+1, T );
55
        de = sqrt( hd[t]*hd[t] + 2*tan( alf[t]/2 )/amu[t] );
        fac = 10000*gin*de*de/16;
        hdq = hd[t]*hd[t];

        oy = y2[t]/P + Lmld2;                  /* vorbereiten */
60        oz = z2[t]/P + Kmld2;
        dy = y2[t] - y0;
        dz = z2[t] - z0;
        AdP = (A - x2[t])/P;
        X2 = x2[t];
65

```

```

xv = x0 - X2;          /* Verbindungsvektor */
Yv = y0 - y2[t];
Zv = z0 - z2[t];

xr = -1;               /* Richtung PH-Achse */
yr = -tan( psi[t] );
zr = -tan( the[t] );
br = sqrt( 1 + yr*yr + zr*zr );
xr = xr/br;
yr = yr/br;
zr = zr/br;

coa = cos( alf[t]/2 ); /* Cos. d. PH-Oeffnung */

x1 = x0;               /* Initialisieren */
pts = tse;
smi = FLT_MAX;
sma = -FLT_MAX;

for( j=0; j<N; j++ )
{
    mpl = (A-x1)/(X2-x1);
    pma = p*(mpl - 1);
    mlq = mpl*mpl;
    pmq = pma*pma;
    mdP = AdP/(X2-x1); /* Proj. d. unteren Ecke */
    y3 = mdP*dy + oy;
    Z3 = mdP*dz + oz;
    pmdP = p*mdP;

    x1q = x1*x1;
    y1 = y0;

    yv = Yv;
    xvq = xv*xv;
    xvr = xv*xr;

    for( i=0; i<N; i++ )
    {
        l = floor( y3 );
        z3 = Z3;

        rdq = x1q + y1*y1;

        zv = Zv;
        yvq = yv*yv;
        yvr = yv*yr;

        for( s=0; s<S; s++ )
        {
            if( rdq < mrq ) /* innerhalb FOV? */
            {
                k = floor( z3 );

                if( l>=0 && l<Lml && k>=0 && k<Kml ) /* in Prj? */
                {
                    bvq = xvq + yvq + zv*zv;
                    skp = xvr + yvr + zv*zr;
                    bv = sqrt( bvq );
                    cob = skp/bv;

                    if( cob >= coa ) /* in PH? */
                    {
                        cog = -xv/bv; /* Wink. Lot */
                        nww = 1 - exp( -cmu*cth/cog ); /* Nachw.W. */

                        *pts = fac*nww*cob/bvq; /* Sensitiv. */

                        if( *pts < smi ) /* Min/Max d. Sen. */
                            smi = *pts;
                        if( *pts > sma )
                            sma = *pts;
                    }
                }
            }
        }
    }
}

```

```

5      dq = hdq*mlq;          /* Loch vergroessern */
      dq = dq*cob;           /* Winkel zu Pinhole */
      dq = dq + pmq;         /* Voxelausdehnung */
      dq = dq/cog;           /* Winkel zu Kristall */
      dq = dq + req;         /* Intrins. Aufloesung */

      hwb = sqrt( dq )/P;    /* Punktbildbreite */

      *pih = (Q-1)*(hwb-hmi)/(hma-hmi) + 0.5;
10     }
      else
      {
          *pts = 0;
          *pih = 255;
      }
15     }
      else
      {
          *pts = 0;
          *pih = 255;
      }
20     }
      else
      {
          *pts = 0;
          *pih = 255;
      }
25     }
      z3 -= pmdP;
      zv += p;
      pts++;
      pih++;
30     }
      y1 += p;
      y3 -= pmdP;
      yv += p;
35     }
      x1 += p;
      xv += p;
      }

      for( h=0; h<Q; h++ )          /* Sensitivitaet */
      {
40         *pse = smi + h*(sma-smi)/(Q-1);

          pse++;
      }

      for( i=0; i<NN*S; i++ )        /* Indizes d. Sen. */
45     {
          if( tse[i] > 0 )
              *pis = (Q-1)*(tse[i]-smi)/(sma-smi) + 0.5;
          else
              *pis = 255;
50         pis++;
      }
      }

      printf( "\n\n" );
55     FREE( tse );

      return psf;
}
/*****
SUM(): Einfache Zentralstrahl-Projektion plus Faltung mit mittlerer
Abbildungsfunktion. Die Projektion beruecksichtigt die ortsabhaengige
Sensitivitaet.
*****/

void SUM( float *prj, float *rot, float *sen, unsigned char *ise,
65

```

```

float *psf, unsigned char *ihb )
{
    unsigned char *pis, *pih;
    int s, i, j, k, l, t, kk, ll, lK, idk;
    float x1, y3, z3, Z3;
    float Nmld2, Smld2, Lmld2, Kmld2, AdP, pmdP;
    float DY, DZ, w1, w2, w3, w4, tmp, mih, sum;
    float oy, oz, dy, dz, X2, *tpr, *ppr, *pro;
    float *pse, *ppf, *Ppf;

    SET_FLT( prj, KL, 0 ); /* Proj. nullsetzen */
    tpr = MALLOC( KL*sizeof( float ) ); /* temp. Projektion */
    Nmld2 = (N-1)/2.0; /* Konstanten */
    Smld2 = (S-1)/2.0;
    Kmld2 = (K-1)/2.0;
    Lmld2 = (L-1)/2.0;

    pis = ise;
    pih = ihb;
    pse = sen;

    for( t=0; t<T; t++ ) /* Schleife ue. Loecher */
    {
        SET_FLT( tpr, KL, 0 ); /* Proj. nullsetzen */

        oy = y2[t]/P + Lmld2;
        oz = z2[t]/P + Kmld2;
        dy = y2[t]/p + Nmld2;
        dz = z2[t]/p + Smld2;

        AdP = (A - x2[t])/P;
        X2 = x2[t]/p;

        x1 = -Nmld2;
        pro = rot;

        mih = 0;
        sum = 0;

        for( j=0; j<N; j++ )
        {
            pmdP = AdP/(X2-x1); /* Proj. d. unteren Ecke */
            y3 = pmdP*dy + oy;
            Z3 = pmdP*dz + oz;

            for( i=0; i<N; i++ )
            {
                l = floor( y3 );
                DY = y3 - l;

                z3 = Z3;

                lK = l*K;

                for( s=0; s<S; s++ )
                {
                    tmp = *pro; /* Objektwert */

                    if( *pis < 255 && tmp > 0 )
                    {
                        tmp = tmp*pse[*pis]; /* Sensitiv. dazu */
                        k = floor( z3 );
                        DZ = tmp*(z3 - k);

                        w4 = DY*DZ; /* Gewichte */
                        w2 = tmp*DY - w4;
                        w3 = DZ - w4;
                        w1 = tmp - DZ - w2;

                        ppr = tpr + lK + k; /* aufsummieren */
                        (*ppr) += w1;
                    }
                }
            }
        }
    }
}

```

```

        ppr += 1;
        (*ppr) += w3;

        ppr += K;
        (*ppr) += w4;
5
        ppr -= 1;
        (*ppr) += w2;

        mih += tmp*(*pih);          /* PSF mitteln */
        sum += tmp;
10
    }

    z3 -= pmdP;
    pro++;
    pis++;
    pih++;
15
}

y3 -= pmdP;
}

x1++;
}

idx = mih/sum + 0.5;          /* mittlerer Index */
ppf = psf + idx*CC;          /* mittlere PSF */
25
ppr = tpr;

for( l=0; l<L; l++ )          /* Faltung */
    for( k=0; k<K; k++ )
    {
        if( *ppr > 0 )
        {
30
            Ppf = ppf;

            for( ll=l-Cd2; ll<=l+Cd2; ll++ )
                for( kk=k-Cd2; kk<=k+Cd2; kk++ )
                {
35
                    if( *Ppf>0 && ll>=0 && ll<L && kk>=0 && kk<K )
                        prj(ll, kk) += (*ppr)*(*Ppf);

                    Ppf++;
                }
            }
40
        }
        ppr++;
    }

    pse += Q;
45
}

FREE( tpr );
}
/*****
PRJ(): Projektion mit voxelweiser Beruecksichtigung von Sensitivitaet
und Abbildungsfunktion.
50 *****/

void PRJ( float *prj, float *rot, float *sen, unsigned char *ise,
          float *psf, unsigned char *ihb )
{
55
    unsigned char *pis, *pih;
    int s, i, j, k, l, t, kk, ll;
    int i0, ll, k0, k1, l0K, Lml, Kml;
    float x1, y3, z3, z3;
    float Nmld2, Smld2, Lmld2, Kmld2, AdP, pmdP;
    float DY, DZ, w1, w2, w3, w4, tmp;
60
    float oy, oz, dy, dz, X2, *pro, *ppf, *pse;
    float *pp0, *pp1, *pp2, *pp3, *pp4;

    SET_FLT( prj, KL, 0 );          /* Proj. nullsetzen */
65

```

DE 101 42 421 A 1

```

Nmld2 = (N-1)/2.0;      /* Konstanten */
Smld2 = (S-1)/2.0;
Kmld2 = (K-1)/2.0;
Lmld2 = (L-1)/2.0;
Kml  = K - 1;
Lml  = L - 1;
5

päs = ise;
pih = ihb;
pse = sen;

for( t=0; t<T; t++ )    /* Schleife ue. Loecher */
{
    oy = y2[t]/P + Lmld2;
    oz = z2[t]/P + Kmld2;
    dy = y2[t]/p + Nmld2;
    dz = z2[t]/p + Smld2;
15

    AdP = (A - x2[t])/P;
    X2  = x2[t]/p;

    x1 = -Nmld2;
    pro = rot;
20

    for( j=0; j<N; j++ )
    {
        pmdP = AdP/(X2-x1);
        y3 = pmdP*dy + oy;
        z3 = pmdP*dz + oz;
25

        for( i=0; i<N; i++ )
        {
            l = floor( y3 );
            DY = y3 - l;
            l0 = l - Cd2;
            l1 = l + Cd2;
30

            z3 = z3;

            l0K = l0*K;
35

            for( s=0; s<S; s++ )
            {
                tmp = *pro;
                /* Objektwert */

                if( *pis < 255 && tmp > 0 )
                {
40
                    tmp = tmp*pse[*pis];
                    /* Sensitiv. dazu */
                    k = floor( z3 );
                    DZ = tmp*(z3 - k);
                    k0 = k - Cd2;
                    k1 = k + Cd2;
45

                    w4 = DY*DZ;
                    /* Gewichte */
                    w2 = tmp*DY - w4;
                    w3 = DZ - w4;
                    w1 = tmp - DZ - w2;

                    ppf = psf + (*pih)*CC;
                    /* PSF aufadd. */
                    pp0 = prj + l0K + k0;

                    for( ll=l0; ll<=l1; ll++ )
                    {
55
                        pp1 = pp0;
                        pp2 = pp0 + K;
                        pp3 = pp0 + 1;
                        pp4 = pp2 + 1;

                        for( kk=k0; kk<=k1; kk++ )
                        {
60
                            if( *ppf > 0 )
                            {
                                if( ll>=0 && ll<L && kk>=0 && kk<K )
                                    *pp1 += w1*( *ppf );
65

```

```

        if( ll>=-1 && ll<Lml && kk>=0 && kk<K )
            *pp2 += w2*(*ppf);
        if( ll>=0 && ll<L && kk>=-1 && kk<Kml )
            *pp3 += w3*(*ppf);
5         if( ll>=-1 && ll<Lml && kk>=-1 && kk<Kml )
            *pp4 += w4*(*ppf);
    }

    ppf++;
    pp1++;
10    pp2++;
    pp3++;
    pp4++;
}

    pp0 += K;
}

    z3 -= pmdP;
    pro++;
    pis++;
20    pih++;
}

    y3 -= pmdP;
}

    xl++;
}

    pse += Q;
}
}
30 /*****
    QUO(): Bildet den Quotienten aus gemessenen und berechneten Projek-
    tionen. prj() und sci() haben unterschiedliche Speicherorganisation.
    *****/

void QUO( float *prj, float *sci, int m )
35 {
    int k, l;

    for( l=0; l<L; l++ )
        for( k=0; k<K; k++ )
        {
40            if( sci(m,k,l) > 0 && prj(l,k) > 0 )
                prj(l,k) = sci(m,k,l)/prj(l,k);
            else
                prj(l,k) = 1;
        }
}
45 /*****
    REP(): Projiziert die Korrekturvorschlaege in das (rotierte) Rekon-
    struktionsvolumen zurueck. Dies geschieht unter Beruecksichtigung der
    ortsabhaengigen Sensitivitaet.
    *****/

50 void REP( float *rot, float *ron, float *prj, float *sen,
    unsigned char *ise )
{
    unsigned char *pis;
    int s, i, j, k, l, t, lK;
55    float x1, y3, z3, z3;
    float Nmld2, Smld2, Lmld2, Kmld2, AdP, pmdP;
    float DY, DZ, w1, w2, w3, w4, tmp, quo;
    float oy, oz, dy, dz, X2, *pro, *prn, *ppr, *pse;

    Nmld2 = (N-1)/2.0;
    Smld2 = (S-1)/2.0;
60    Kmld2 = (K-1)/2.0;
    Lmld2 = (L-1)/2.0;

    pis = ise;
65

```



```

pse = sen;

for( i=0; i<NN*S; i++ )          /* Aussenraum markieren */
    if( rot[i] > 0 )
        rot[i] = 0;
    else
        rot[i] = -1;
SET_FLT( ron, NN*S, 0 );          /* initialisieren */

for( t=0; t<T; t++ )            /* Schleife ue. Loecher */
{
    oy = y2[t]/P + Lmld2;
    oz = z2[t]/P + Kmld2;
    dy = y2[t]/p + Nmld2;
    dz = z2[t]/p + Smld2;

    AdP = (A - x2[t])/P;
    X2 = x2[t]/p;

    x1 = -Nmld2;
    pro = rot;
    prn = ron;

    for( j=0; j<N; j++ )
    {
        pmdP = AdP/(X2-x1);          /* Proj. d. unteren Ecke */
        y3 = pmdP*dy + oy;
        z3 = pmdP*dz + oz;

        for( i=0; i<N; i++ )
        {
            l = floor( y3 );
            DY = y3 - l;

            z3 = z3;

            lK = l*K;

            for( s=0; s<S; s++ )
            {
                if( *pis < 255 && *pro != -1 )
                {
                    k = floor( z3 );
                    DZ = z3 - k;

                    w4 = DY*DZ;          /* Gewichte */
                    w2 = DY - w4;
                    w3 = DZ - w4;
                    w1 = 1 - DZ - w2;

                    ppr = prj + lK + k;    /* mittlerer Quotient */
                    quo = w1*(*ppr);

                    ppr += 1;
                    quo += w3*(*ppr);

                    ppr += K;
                    quo += w4*(*ppr);

                    ppr -= 1;
                    quo += w2*(*ppr);

                    tmp = pse[*pis];
                    *pro += tmp*quo;
                    *prn += tmp;
                }

                z3 -= pmdP;
                pro++;
                prn++;
                pis++;
            }
        }
    }

```

```

        y3 -= pmdP;
    }

    x1++;
5    )

    pse += Q;
}
/*****
10  COR(): Normierung der Korrekturfaktoren.
*****/

void NRM( float *cor, float *nrm )
{
    int i;
15    for( i=0; i<NN*S; i++ )
        if( nrm[i] > 0 )
            cor[i] = cor[i]/nrm[i];
}
/*****
20  COR(): Anwendung der Korrekturfaktoren auf die aktuelle Rekonstruk-
tion.
*****/

void COR( float *rec, float *cor )
{
25    int i;

    for( i=0; i<NN*S; i++ )
        if( rec[i] > 0 )
            rec[i] = cor[i]*rec[i];
30 }
/*****
SAV(): Reorganisieren und speichern der Daten.
*****/

void SAV( float *rec, float *rot, char *basen, int iter )
{
35    char fulln[256];
    int i, j, s;

    for( s=0; s<S; s++ )
        for( i=0; i<N; i++ )
            for( j=0; j<N; j++ )
40                rot[s*NN+i*N+j] = rec[j*NS+i*S+s];

    sprintf( fulln, "%s.r%2.2i", basen, iter );
65    /* Name */

    FWRITE( rot, sizeof( float ), NN*S, fulln );
    /* speichern */
45 }
/*****
ROT(): Dreht das Objekt ccw um den Winkel phi. Die Objekte muessen
inverse Speicherorganisation (j,i,s) besitzen. Merke: Das Zielvolumen
wird in ROT() nicht initialisiert.
50 *****/

void ROT( float *rot, float *rec, float phi )
{
    int i, j, s, k, l, ifac;
    float si, co, i2sico, ta, ct, Nd2, Nd2ml, tmp;
55    float x, y, F[9], a[2], b[2], c[2], d[2], r, t;
    float A0, A1, B0, B1, C0, C1, D0, D1, fac, ox, oy, *pre;
    float *pr1, *pr2, *pr3, *pr4, *pr5, *pr6, *pr7, *pr8, *pr9;

    fac = phi/(2*M_PI);
    ifac = fac;
60    fac = fac - ifac;
    phi = 2*fac*M_PI;

    if( phi < 0 )
        phi = 2*M_PI + phi;
65    /* Negative umrechnen */

```

```

if( phi == 0 ) /* Vielfache von Pi/2 */
{
    for( j=0; j<N; j++ )
        for( i=0; i<N; i++ )
            for( s=0; s<S; s++ )
                if( rec(j,i,s) > 0 )
                    rot(j,i,s) += rec(j,i,s);
    return;
}

if( phi == M_PI/2 )
{
    for( j=0; j<N; j++ )
        for( i=0; i<N; i++ )
            for( s=0; s<S; s++ )
                if( rec(i,N-j-1,s) > 0 )
                    rot(j,i,s) += rec(i,N-j-1,s);
    return;
}

if( phi == M_PI )
{
    for( j=0; j<N; j++ )
        for( i=0; i<N; i++ )
            for( s=0; s<S; s++ )
                if( rec(N-j-1,N-i-1,s) > 0 )
                    rot(j,i,s) += rec(N-j-1,N-i-1,s);
    return;
}

if( phi == 3*M_PI/2 )
{
    for( j=0; j<N; j++ )
        for( i=0; i<N; i++ )
            for( s=0; s<S; s++ )
                if( rec(N-i-1,j,s) > 0 )
                    rot(j,i,s) += rec(N-i-1,j,s);
    return;
}

Nd2 = N/2.0;
Nd2ml = Nd2 - 1;
si = sin( phi );
co = cos( phi );

if( 0 < phi && phi < M_PI/2 ) /* Welcher Quadrant? */
{
    A0 = -Nd2*(co - si);
    A1 = -Nd2*(si + co);

    ox = -si;
    oy = co;
}

if( M_PI/2 < phi && phi < M_PI )
{
    A0 = -Nd2*co + Nd2ml*si;
    A1 = -Nd2*si - Nd2ml*co;

    phi = phi - M_PI/2;
    si = sin( phi );
    co = cos( phi );

    ox = -co;
    oy = -si;
}

if( M_PI < phi && phi < 3*M_PI/2 )
{

```

```

A0 = -Nd2ml*(co - si);
A1 = -Nd2ml*(si + co);

,phi = phi - M_PI;
5  si = sin( phi );
   co = cos( phi );

   ox = si;
   oy = -co;
}

10 if( 3*M_PI/2 < phi && phi < 2*M_PI )
{
   A0 = -Nd2ml*co + Nd2*si;
   A1 = -Nd2ml*si - Nd2*co;

15  phi = phi - 3*M_PI/2;
   si = sin( phi );
   co = cos( phi );

   ox = co;
   oy = si;
20 }

B0 = A0 - si;
B1 = A1 + co;
C0 = B0 + co;
C1 = B1 + si;
25 D0 = C0 + si;
   D1 = C1 - co;

i2sico = 1/(2*si*co);
ta = si/co;
30 ct = 1/ta;

pre = rec;

for( j=0; j<N; j++ )          /* Objekt rotieren */
{
35  a[0] = A0;
   a[1] = A1;
   b[0] = B0;
   b[1] = B1;
   c[0] = C0;
   c[1] = C1;
40  d[0] = D0;
   d[1] = D1;

   for( i=0; i<N; i++ )
   {
80    x = 0.5*( a[0] + c[0] );
     y = 0.5*( a[1] + c[1] );
45    r = floor( y );
     t = floor( x );
     k = r + Nd2;
     l = t + Nd2;

50    pr5 = rot + l*NS + k*S;

    PIX( F, a, b, c, d, r, t, i2sico, ta, ct );

    for( s=0; s<S; s++ )
    {
55      tmp = *pre;

      if( tmp > 0 )
      {
60        pr2 = pr5 - S;
        pr8 = pr5 + S;
        pr4 = pr5 - NS;
        pr1 = pr4 - S;
        pr7 = pr4 + S;
        pr6 = pr5 + NS;
        pr3 = pr6 - S;
65

```

```

pr9 = pr6 + S;

*pr1 += F[0]*tmp;
*pr2 += F[1]*tmp;
*pr3 += F[2]*tmp;
*pr4 += F[3]*tmp;
*pr5 += F[4]*tmp;
*pr6 += F[5]*tmp;
*pr7 += F[6]*tmp;
*pr8 += F[7]*tmp;
*pr9 += F[8]*tmp;
}

pre++;
pr5++;
}

a[0] += ox;
a[1] += oy;
b[0] += ox;
b[1] += oy;
c[0] += ox;
c[1] += oy;
d[0] += ox;
d[1] += oy;
}

A0 += oy;
A1 -= ox;
B0 += oy;
B1 -= ox;
C0 += oy;
C1 -= ox;
D0 += oy;
D1 -= ox;
}

/*****
RAY(): Berechnet die Schnittflaechen zwischen einem rotierten Pixel
und den drei ueberstreichenden Projektionsstrahlen.
*****/

void RAY( float *V, float *H, float *a, float *b, float *c, float *d,
float r, float t, float i2sico )
{
float d1, d2, d3, rpl, tpl;

rpl = r + 1;
tpl = t + 1;

if( c[1] > rpl )
{
d2 = c[1] - rpl;

if( b[1] > rpl )
{
d1 = b[1] - rpl;
V[2] = (d2*d2-d1*d1)*i2sico;
}
else
{
if( d[1] > rpl )
{
d3 = d[1] - rpl;
V[2] = (d2*d2-d3*d3)*i2sico;
}
else
{
V[2] = d2*d2*i2sico;
}
}
}
else
{
}
}

```

```

    V[2] = 0;
}
if( a[1] < r )
5 {
    d2 = r - a[1];

    if( d[1] < r )
    {
        d1 = r - d[1];
        V[0] = (d2*d2-d1*d1)*i2sico;
10    }
    else
    {
        if( b[1] < r )
        {
            d3 = r - b[1];
            V[0] = (d2*d2-d3*d3)*i2sico;
15        }
        else
        {
            V[0] = d2*d2*i2sico;
20        }
    }
}
else
{
    V[0] = 0;
25 }

V[1] = 1 - V[0] - V[2];

if( b[0] < t )
{
30    d2 = t - b[0];

    if( a[0] < t )
    {
        d1 = t - a[0];
        H[0] = (d2*d2-d1*d1)*i2sico;
35    }
    else
    {
        if( c[0] < t )
        {
            d3 = t - c[0];
            H[0] = (d2*d2-d3*d3)*i2sico;
40        }
        else
        {
            H[0] = d2*d2*i2sico;
45        }
    }
}
else
{
    H[0] = 0;
50 }

if( d[0] > tp1 )
{
    d2 = d[0] - tp1;

    if( c[0] > tp1 )
    {
        d1 = c[0] - tp1;
        H[2] = (d2*d2-d1*d1)*i2sico;
55    }
    else
    {
60        if( a[0] > tp1 )
        {
            d3 = a[0] - tp1;
            H[2] = (d2*d2-d3*d3)*i2sico;
65        }
    }
}

```

```

    }
    else
    {
        H[2] = d2*d2*i2sico;
    }
}
else
{
    H[2] = 0;
}

H[1] = 1 - H[0] - H[2];
}
/*****
PIX(): Berechnet die Schnittflaechen zwischen dem rotierten Pixel
und den neun unterliegenden Pixeln eines nicht-rotierten Rasters.
*****/

void PIX( float *F, float *a, float *b, float *c, float *d, float r,
float t, float i2sico, float ta, float ct )
{
    float dx, dy, v, h, V[3], H[3], tpl, rpl;

    tpl = t + 1;
    rpl = r + 1;

    F[0] = F[2] = F[6] = F[8] = 0;

    RAY( V, H, a, b, c, d, r, t, i2sico );

    if( a[0] <= t && a[1] <= r )          /* Fall 1 und 2 */
    {
        dx = t - a[0];
        dy = r - a[1];
        v = dy - dx*ta;
        if( v > 0 )
        {
            h = dx + dy*ta;
            F[0] = 0.5*( v*dx + h*dy );
        }
        else
            F[0] = dy*dy*i2sico;
    }

    if( b[0] <= t && b[1] <= r )          /* Fall 3 und 4 */
    {
        dx = t - b[0];
        dy = r - b[1];
        h = dx - dy*ct;
        if( h > 0 )
        {
            v = dy + dx*ct;
            F[0] = 0.5*( v*dx + h*dy );
        }
        else
            F[0] = dx*dx*i2sico;
    }

    if( a[0] > t && a[1] <= r && b[0] <= t && b[1] > r ) /* Fall 5 */
    {
        dx = a[0] - t;
        dy = r - a[1];
        v = dy - dx*ct;
        if( v > 0 )
            F[0] = 0.5*v*v*ta;
    }

    if( b[0] <= t && b[1] > rpl )        /* Obere, linke Ecke */
    {
        dx = t - b[0];
        dy = b[1] - rpl;
        h = dx - dy*ta;
        if( h > 0 )

```

```

    {
        v = dy + dx*ta;
        F[6] = 0.5*( v*dx + h*dy );
    }
5   else
        F[6] = dx*dx*i2sico;
}

if( c[0] <= t && c[1] > rpl )
{
10   dx = t - c[0];
    dy = c[1] - rpl;
    v = dy - dx*ct;
    if( v > 0 )
    {
        h = dx + dy*ct;
15   F[6] = 0.5*( v*dx + h*dy );
    }
    else
        F[6] = dy*dy*i2sico;
}

20 if( b[0] <= t && b[1] <= rpl && c[0] > t && c[1] > rpl )
{
    dx = t - b[0];
    dy = rpl - b[1];
    h = dx - dy*ct;
    if( h > 0 )
25   F[6] = 0.5*h*h*ta;
}

if( c[0] > tpl && c[1] > rpl )          /* Obere, rechte Ecke */
{
30   dx = c[0] - tpl;
    dy = c[1] - rpl;
    v = dy - dx*ta;
    if( v > 0 )
    {
        h = dx + dy*ta;
35   F[8] = 0.5*( v*dx + h*dy );
    }
    else
        F[8] = dy*dy*i2sico;
}

40 if( d[0] > tpl && d[1] > rpl )
{
    dx = d[0] - tpl;
    dy = d[1] - rpl;
    h = dx - dy*ct;
    if( h > 0 )
45   {
        v = dy + dx*ct;
        F[8] = 0.5*( v*dx + h*dy );
    }
    else
        F[8] = dx*dx*i2sico;
50 }

if( c[0] <= tpl && c[1] > rpl && d[0] > tpl && d[1] <= rpl )
{
    dx = tpl - c[0];
    dy = c[1] - rpl;
55   v = dy - dx*ct;
    if( v > 0 )
        F[8] = 0.5*v*v*ta;
}

if( d[0] > tpl && d[1] <= r )          /* Untere, rechte Ecke */
60 {
    dx = d[0] - tpl;
    dy = r - d[1];
    h = dx - dy*ta;
    if( h > 0 )
65

```



```

{
    v = dy + dx*ta;
    F[2] = 0.5*( v*dx + h*dy );
}
else
    F[2] = dx*dx*i2sico;
}

if( a[0] > tpi && a[1] <= r )
{
    dx = a[0] - tpi;
    dy = r - a[1];
    v = dy - dx*ct;
    if( v > 0 )
    {
        h = dx + dy*ct;
        F[2] = 0.5*( v*dx + h*dy );
    }
    else
        F[2] = dy*dy*i2sico;
}

if( a[0] <= tpi && a[1] <= r && d[0] > tpi && d[1] > r )
{
    dx = d[0] - tpi;
    dy = d[1] - r;
    h = dx - dy*ct;
    if( h > 0 )
        F[2] = 0.5*h*h*ta;
}

F[1] = V[0] - F[0] - F[2];
F[7] = V[2] - F[6] - F[8];
F[3] = H[0] - F[0] - F[6];
F[5] = H[2] - F[2] - F[8];
F[4] = 1 - H[0] - H[2] - F[1] - F[7];
}
/*****
SM2(): 2D-Glaettung (binomial) der gemessenen Projektionen.
*****/

void SM2( float *sci, float *prj )
{
    int m, k, l, kk, ll, E, Ed2;
    float *kn2, sum;

    E = 3;
    Ed2 = E/2;

    kn2 = MALLOC( E*E*sizeof( float ) ); /* Kern */

    kn2(-1,-1) = kn2(-1,1) = kn2(1,-1) = kn2(1,1) = 1;
    kn2(-1,0) = kn2(0,-1) = kn2(0,1) = kn2(1,0) = 2;
    kn2(0,0) = 4;

    for( m=0; m<M; m++ ) /* Glaettung */
    {
        for( l=0; l<L; l++ )
            for( k=0; k<K; k++ )
            {
                sum = 0;
                prj(l,k) = 0;

                for( kk=-Ed2; kk<=Ed2; kk++ )
                    for( ll=-Ed2; ll<=Ed2; ll++ )
                        if( l+ll>=0 && l+ll<L && k+kk>=0 && k+kk<K )
                        {
                            sum += kn2(ll, kk);
                            prj(l,k) += kn2(ll, kk)*sci(m, k+kk, l+ll);
                        }

                prj(l,k) = prj(l,k)/sum;
            }
    }
}

```

```

        for( l=0; l<L; l++ )
            for( k=0; k<K; k++ )
                sci(m,k,l) = prj(l,k);
    }
5   FREE( kn2 );
}
/*****
SM3(): 3D-Glaettung (binomial) eines Volumendatensatzes.
*****/
10 void SM3( float *rec, float *rot )
{
    int s, i, j, h, k, l, E, Ed2, EE;
    float *kn3, sum;

15   E   = 3;
    Ed2 = E/2;
    EE   = E*E;

    kn3 = MALLOC( EE*E*sizeof( float ) );
    SET_FLT( kn3, EE*E, 0 );
20
    kn3(0,0,0) = 2;
    kn3(0,0,-1) = 1;
    kn3(0,0,1) = 1;
    kn3(0,-1,0) = 1;
    kn3(0,1,0) = 1;
25   kn3(-1,0,0) = 1;
    kn3(1,0,0) = 1;

    for( j=0; j<N; j++ )
        for( i=0; i<N; i++ )
            for( s=0; s<S; s++ )
30                if( rec(j,i,s) > 0 )
                {
                    sum = 0;
                    rot(j,i,s) = 0;

                    for( l=-Ed2; l<=Ed2; l++ )
                        for( k=-Ed2; k<=Ed2; k++ )
                            for( h=-Ed2; h<=Ed2; h++ )
                                if( rec(j+1,i+k,s+h)>0 && j+1>=0 && j+1<N && i+k>=0 &&
40                                i+k<N && s+h>=0 && s+h<S )
                                {
                                    sum += kn3(l,k,h);
                                    rot(j,i,s) += kn3(l,k,h)*rec(j+1,i+k,s+h);
                                }

                    rot(j,i,s) = rot(j,i,s)/sum;
                }
50
    for( i=0; i<NN*S; i++ )
        rec[i] = rot[i];

    FREE( kn3 );
}
/*****
LLH(): Berechnet den Log-Likelihood fuer eine Richtung.
*****/
50 float LLH( float *prj, float *sci, int m )
{
    int k, l;
    float llh, tmp1, tmp2;

    llh = 0;

    for( l=0; l<L; l++ )
60        for( k=0; k<K; k++ )
        {
            tmp1 = prj(l,k);
            tmp2 = sci(m,k,l);

65

```

```

        if( tmp1 > 0 && tmp2 > 0 )
            llh += tmp2*log(tmp1) - tmp1;
    }

    return llh;
}
/*****
 * DEV(): Berechnet die mittlere quadratische Abweichung zwischen Objekt
 * und Rekonstruktion.
 *****/

void DEV( FILE *devf, float *obj, float *rec, float llh, int i )
{
    int k, cnt;
    float dev, tmp;

    cnt = 0;
    dev = 0;

    for( k=0; k<NN*S; k++ )
        if( rec[k] > 0 )
        {
            cnt++;
            tmp = obj[k] - rec[k];
            dev += tmp*tmp;
        }

    dev = dev/cnt;

    fprintf( devf, "%7i%15.6g%15.6g\n", i, dev, llh );
    fflush( devf );
}
/*****/

/*****
util.h                                     Autor: Nils Schramm
                                           Datum: 10.12.1998
Headerdatei zu util.c.
 *****/

#ifndef __util__
#define __util__

#include <stdio.h>
#include <stddef.h>
#include <stdlib.h>
#include <sys/stat.h>
#include <unistd.h>
#include <math.h>
#include <limits.h>
#include <float.h>

#define TRUE 1
#define FALSE 0

void ERROR( char *text );
FILE *FOPEN( char *name, char *mode );
void REWIND( FILE *file );
void FCLOSE( FILE *file );
int FLEN_BIN( FILE *file );
void FREAD( void *buffer, int size, int num, char *name );
void FWRITE( void *buffer, int size, int num, char *name );
void FAPPEND( void *buffer, int size, int num, char *name );
void *MALLOC( int bytes );
void FREE( void *ptr );
int MAX_INT( int *data, int num );
int MIN_INT( int *data, int num );
float MAX_FLT( float *data, int num );

```

```

float MIN_FLT( float *data, int num );
int SUM_INT( int *data, int num );
float SUM_FLT( float *data, int num );
void SET_INT( int *data, int num, int val );
5 void SET_FLT( float *data, int num, float val );
void COPY_INT( int *dest, int *sour, int num );
void COPY_FLT( float *dest, float *sour, int num );
void ADD_INT( int *dest, int *sour1, int *sour2, int num );
void ADD_FLT( float *dest, float *sour1, float *sour2, int num );
void SUB_INT( int *dest, int *sour1, int *sour2, int num );
10 void SUB_FLT( float *dest, float *sour1, float *sour2, int num );
int FLEN_ASC( FILE *file );
void READ_INT( int *data, int nsli, int nrow, int ncol, char *name );
void WRITE_INT( int *data, int nsli, int nrow, int ncol, char *name );
void APPEND_INT( int *data, int nsli, int nrow, int ncol, char *name );
void READ_FLT( float *data, int nsli, int nrow, int ncol, char *name );
15 void WRITE_FLT( float *data, int nsli, int nrow, int ncol, char *name );
void APPEND_FLT( float *data, int nsli, int nrow, int ncol, char *name );
int IS_BIG_ENDIAN( void );
void SWAP_TWO( char *chr1, char *chr2 );
void SWAP( void *ptr, int size );

20 #endif

/*****

25 /*****                               Autor: Nils Schramm
    util.c                               Datum: 10.12.1998

    Einige nuetzliche Hilfsmittel.
    *****/

30 #include "util.h"

/*****
    ERROR(): Standard Fehlerbehandlung.
    *****/

35 void ERROR( char *text )
{
    fprintf( stderr, "\n%s\n", text );
    fprintf( stderr, "Exiting to system...\n\n" );
    exit( 0 );
40 }
/*****
    FOPEN(): Oeffnen einer Datei.
    *****/

FILE *FOPEN( char *name, char *mode )
45 {
    FILE *file;

    file = fopen( name, mode );
    if( file == NULL )
        ERROR( "FOPEN(): Can't open file" );

50    return file;
}
/*****
    REWIND(): Zurueckspulen einer Datei.
    *****/

55 void REWIND( FILE *file )
{
    rewind( file );
}
/*****
    FCLOSE(): Schliessen einer Datei.
    *****/

60 void FCLOSE( FILE *file )
{
    fclose( file );
}
/****
65

```

```

fclose( file );
}
/*****
FLEN_BIN(): Bestimme die Laenge einer Datei in Bytes.
*****/
5

int FLEN_BIN( FILE *file )
{
    int len;
    struct stat fst;

    fstat( fileno( file ), &fst );
    len = fst.st_size;

    return len;
}
/*****
FREAD(): Binaeres Lesen von Daten.
*****/
10
15

void FREAD( void *buffer, int size, int num, char *name )
{
    int len;
    FILE *file;

    file = FOPEN( name, "rb" );

    len = FLEN_BIN( file );
    if( num*size != len )
        ERROR( "FREAD(): Wrong file size" );

    fread( buffer, size, num, file );

    FCLOSE( file );
}
/*****
FWRITE(): Binaeres Schreiben von Daten. Datei wird neu erzeugt.
*****/
20
25

void FWRITE( void *buffer, int size, int num, char *name )
{
    FILE *file;

    file = FOPEN( name, "wb" );

    fwrite( buffer, size, num, file );

    FCLOSE( file );
}
/*****
FAPPEND(): Binaeres Schreiben von Daten. Daten werden an eine be-
stehende Datei angehaengt.
*****/
30
35
40
45

void FAPPEND( void *buffer, int size, int num, char *name )
{
    FILE *file;

    file = FOPEN( name, "ab" );

    fwrite( buffer, size, num, file );

    FCLOSE( file );
}
/*****
MALLOC(): Anfordern von Speicher.
*****/
50
55

void *MALLOC( int bytes )
{
    void *ptr;

    ptr = malloc( bytes );
    if( ptr == NULL )
60
65

```

```

        ERROR( "MALLOC(): Can't allocate memory" );

    return ptr;
}
5  /*****
    FREE(): Freigeben von Speicher.
    *****/

void FREE( void *ptr )
10 {
    free( ptr );
}
/*****
    MAX_INT(): Bestimme das Maximum eines Integer-Datensatzes.
    *****/

15 int MAX_INT( int *data, int num )
{
    int i;
    int max;

    max = INT_MIN;

20     for( i=0; i<num; i++ )
        if( data[i] > max )
            max = data[i];

    return max;
25 }
/*****
    MIN_INT(): Bestimme das Minimum eines Integer-Datensatzes.
    *****/

30 int MIN_INT( int *data, int num )
{
    int i;
    int min;

    min = INT_MAX;

35     for( i=0; i<num; i++ )
        if( data[i] < min )
            min = data[i];

    return min;
40 }
/*****
    MAX_FLT(): Bestimme das Maximum eines Float-Datensatzes.
    *****/

float MAX_FLT( float *data, int num )
45 {
    int i;
    float max;

    max = -FLT_MAX;

50     for( i=0; i<num; i++ )
        if( data[i] > max )
            max = data[i];

    return max;
55 }
/*****
    MIN_FLT(): Bestimme das Minimum eines Float-Datensatzes.
    *****/

float MIN_FLT( float *data, int num )
60 {
    int i;
    float min;

    min = FLT_MAX;

65

```

```

    for( i=0; i<num; i++ )
        if( data[i] < min )
            min = data[i];

    return min;
}
/*****
 * SUM_INT(): Summiert einen Integer-Datensatz.
 *****/

int SUM_INT( int *data, int num )
{
    int i;
    int sum;

    sum = 0;

    for( i=0; i<num; i++ )
        sum = sum + data[i];

    return sum;
}
/*****
 * SUM_FLT(): Summiert einen Float-Datensatz.
 *****/

float SUM_FLT( float *data, int num )
{
    int i;
    float sum;

    sum = 0;

    for( i=0; i<num; i++ )
        sum = sum + data[i];

    return sum;
}
/*****
 * SET_INT(): Initialisieren eines Integer-Datensatz.
 *****/

void SET_INT( int *data, int num, int val )
{
    int i;

    for( i=0; i<num; i++ )
        data[i] = val;
}
/*****
 * SET_FLT(): Initialisieren eines Float-Datensatz.
 *****/

void SET_FLT( float *data, int num, float val )
{
    int i;

    for( i=0; i<num; i++ )
        data[i] = val;
}
/*****
 * COPY_INT(): Kopieren eines Integer-Datensatz.
 *****/

void COPY_INT( int *dest, int *sour, int num )
{
    int i;

    for( i=0; i<num; i++ )
        dest[i] = sour[i];
}
/*****
 * COPY_FLT(): Kopieren eines Float-Datensatz.
 *****/

```

```

void COPY_FLT( float *dest, float *sour, int num )
{
    int i;

    for( i=0; i<num; i++ )
        dest[i] = sour[i];
}
/*****
  ADD_INT(): Addiert zwei Integer-Datensaetze.
*****/

10 void ADD_INT( int *dest, int *sour1, int *sour2, int num )
{
    int i;

    for( i=0; i<num; i++ )
        dest[i] = sour1[i] + sour2[i];
15 }
/*****
  ADD_FLT(): Addiert zwei Float-Datensaetze.
*****/

20 void ADD_FLT( float *dest, float *sour1, float *sour2, int num )
{
    int i;

    for( i=0; i<num; i++ )
        dest[i] = sour1[i] + sour2[i];
25 }
/*****
  SUB_INT(): Subtrahiert zwei Integer-Datensaetze.
*****/

void SUB_INT( int *dest, int *sour1, int *sour2, int num )
30 {
    int i;

    for( i=0; i<num; i++ )
        dest[i] = sour1[i] - sour2[i];
35 }
/*****
  SUB_FLT(): Subtrahiert zwei Float-Datensaetze.
*****/

void SUB_FLT( float *dest, float *sour1, float *sour2, int num )
40 {
    int i;

    for( i=0; i<num; i++ )
        dest[i] = sour1[i] - sour2[i];
45 }
/*****
  FLEN_ASC(): Bestimmt die Anzahl der Zahlen in einer ASCII-Datei.
*****/

int FLEN_ASC( FILE *file )
{
    int status, cnt;
50 float tmp;

    cnt = 0;

    while( 1 )
55 {
        status = fscanf( file, "%g", &tmp );
        if( status == EOF )
            break;

        cnt++;
60 }

    REWIND( file );

65

```



```

    return cnt;
}
/*****
  READ_INT(): Einlesen eines ASCII-Datensatzes in eine Integer-Matrix.
  *****/
void READ_INT( int *data, int nsli, int nrow, int ncol, char *name )
{
    int i, len;
    float tmp;
    FILE *file;

    file = FOPEN( name, "rt" );

    len = FLEN_ASC( file );
    if( nsli*nrow*ncol != len )
        ERROR( "READ_INT(): Wrong file size" );

    for( i=0; i<nsli*nrow*ncol; i++ )
    {
        fscanf( file, "%g", &tmp );
        if( tmp >= 0 )
            data[i] = (int)tmp + 0.5;
        else
            data[i] = (int)tmp - 0.5;
    }

    FCLOSE( file );

    WRITE_INT(): Schreiben eines Integer-Datensatzes im ASCII-Format.
    Datei wird neu erzeugt.
    *****/
void WRITE_INT( int *data, int nsli, int nrow, int ncol, char *name )
{
    int i, j, k;
    FILE *file;

    file = FOPEN( name, "wt" );

    for( k=0; k<nsli; k++ )
    {
        for( i=0; i<nrow; i++ )
        {
            for( j=0; j<ncol; j++ )
            {
                fprintf( file, "%i\t", data[k*nrow*ncol+i*ncol+j] );
            }
            fprintf( file, "\n" );
        }
        fprintf( file, "\n" );
    }

    FCLOSE( file );

    APPEND_INT(): Schreiben eines Integer-Datensatzes im ASCII-Format.
    Daten werden an bestehende Datei angehaengt.
    *****/
void APPEND_INT( int *data, int nsli, int nrow, int ncol, char *name )
{
    int i, j, k;
    FILE *file;

    file = FOPEN( name, "at" );

    for( k=0; k<nsli; k++ )
    {
        for( i=0; i<nrow; i++ )
        {
            for( j=0; j<ncol; j++ )
            {

```

```

        fprintf( file, "%i\t", data[k*nrow*ncol+i*ncol+j] );
    }
    fprintf( file, "\n" );
}
5   fprintf( file, "\n" );

    FCLOSE( file );
}
/*****
10  READ_FLT(): Einlesen eines ASCII-Datensatzes in eine Float-Matrix.
*****/

void READ_FLT( float *data, int nsli, int nrow, int ncol, char *name )
{
    int i, len;
15   float tmp;
    FILE *file;

    file = FOPEN( name, "rt" );

    len = FLEN_ASC( file );
20   if( nsli*nrow*ncol != len )
        ERROR( "READ_FLT(): Wrong file size" );

    for( i=0; i<nsli*nrow*ncol; i++ )
    {
        fscanf( file, "%g", &tmp );
25   data[i] = tmp;
    }

    FCLOSE( file );
}
/*****
30  WRITE_FLT(): Schreiben eines Float-Datensatzes im ASCII-Format.
    Datei wird neu erzeugt.
*****/

void WRITE_FLT( float *data, int nsli, int nrow, int ncol, char *name )
35  {
    int i, j, k;
    FILE *file;

    file = FOPEN( name, "wt" );

    for( k=0; k<nsli; k++ )
40   {
        for( i=0; i<nrow; i++ )
        {
            for( j=0; j<ncol; j++ )
            {
                fprintf( file, "%g\t", data[k*nrow*ncol+i*ncol+j] );
45   }
            fprintf( file, "\n" );
        }
        fprintf( file, "\n" );
    }

50   FCLOSE( file );
}
/*****
    APPEND_FLT(): Schreiben eines Float-Datensatzes im ASCII-Format.
    Daten werden an bestehende Datei angehaengt.
55  *****/

void APPEND_FLT( float *data, int nsli, int nrow, int ncol, char *name )
{
    int i, j, k;
    FILE *file;

60   file = FOPEN( name, "at" );

    for( k=0; k<nsli; k++ )
    {
65

```

```

    for( i=0; i<nrow; i++ )
    {
        for( j=0; j<ncol; j++ )
        {
            fprintf( file, "%g\t", data[k*nrow*ncol+i*ncol+j] );
        }
        fprintf( file, "\n" );
    }
    fprintf( file, "\n" );
}

FCLOSE( file );
}
/*****
IS_BIG_ENDIAN(): Testen, ob Big-Endian- oder Little-Endian-System.
*****/

int IS_BIG_ENDIAN( void )
{
    char *chr;
    short sht;
    int rtn;

    sht = 0x0100;
    chr = (char *)sht;
    rtn = *chr;

    return rtn;
}
/*****
SWAP_TWO(): Vertauscht zwei Bytes (nur intern).
*****/

void SWAP_TWO( char *chr1, char *chr2 )
{
    char tmp;

    tmp = *chr1;
    *chr1 = *chr2;
    *chr2 = tmp;
}
/*****
SWAP(): Aendert die Byte-Reihenfolge einer Variablen.
*****/

void SWAP( void *ptr, int size )
{
    char *chr;

    chr = (char *)ptr;

    switch( size )
    {
        case 2:
            SWAP_TWO( chr, chr+1 );
            break;

        case 4:
            SWAP_TWO( chr, chr+3 );
            SWAP_TWO( chr+1, chr+2 );
            break;

        case 8:
            SWAP_TWO( chr, chr+7 );
            SWAP_TWO( chr+1, chr+6 );
            SWAP_TWO( chr+2, chr+5 );
            SWAP_TWO( chr+3, chr+4 );
            break;

        default:
            ERROR( "SWAP(): Wrong size" );
    }
}
/*****/

```

[0034] Der grundsätzliche Aufbau der Vorrichtung wird anhand der Figur verdeutlicht.

[0035] Ein Objekt 1 befindet sich näher an einem Multi-Loch-Kollimator 3 als die Detektoroberfläche 2. Der Multi-Loch-Kollimator 3 weist Löcher 4 auf, die von beiden Seiten trichterförmig in den Kollimator 3 einmünden, um so einen Durchgang von schräg auftreffenden Gammaquanten durch die Löcher zu ermöglichen. Die Spitzen 5 des Multi-Loch-

Kollimators 3 bestehen aus Iridium. Die übrigen Bereiche des Multi-Loch-Kollimators 3 bestehen aus Wolfram. Gammaquanten 6 gelangen vom Objekt 1 durch die Löcher 4 hindurch auf die Detektoroberfläche 2. Das Objekt 1 wird so auf der Detektoroberfläche 2 vergrößert wiedergegeben. Zwischen den einzelnen Kegeln, die durch die Gammaquanten gebildet werden, gibt es Überschneidungsbereiche 7.

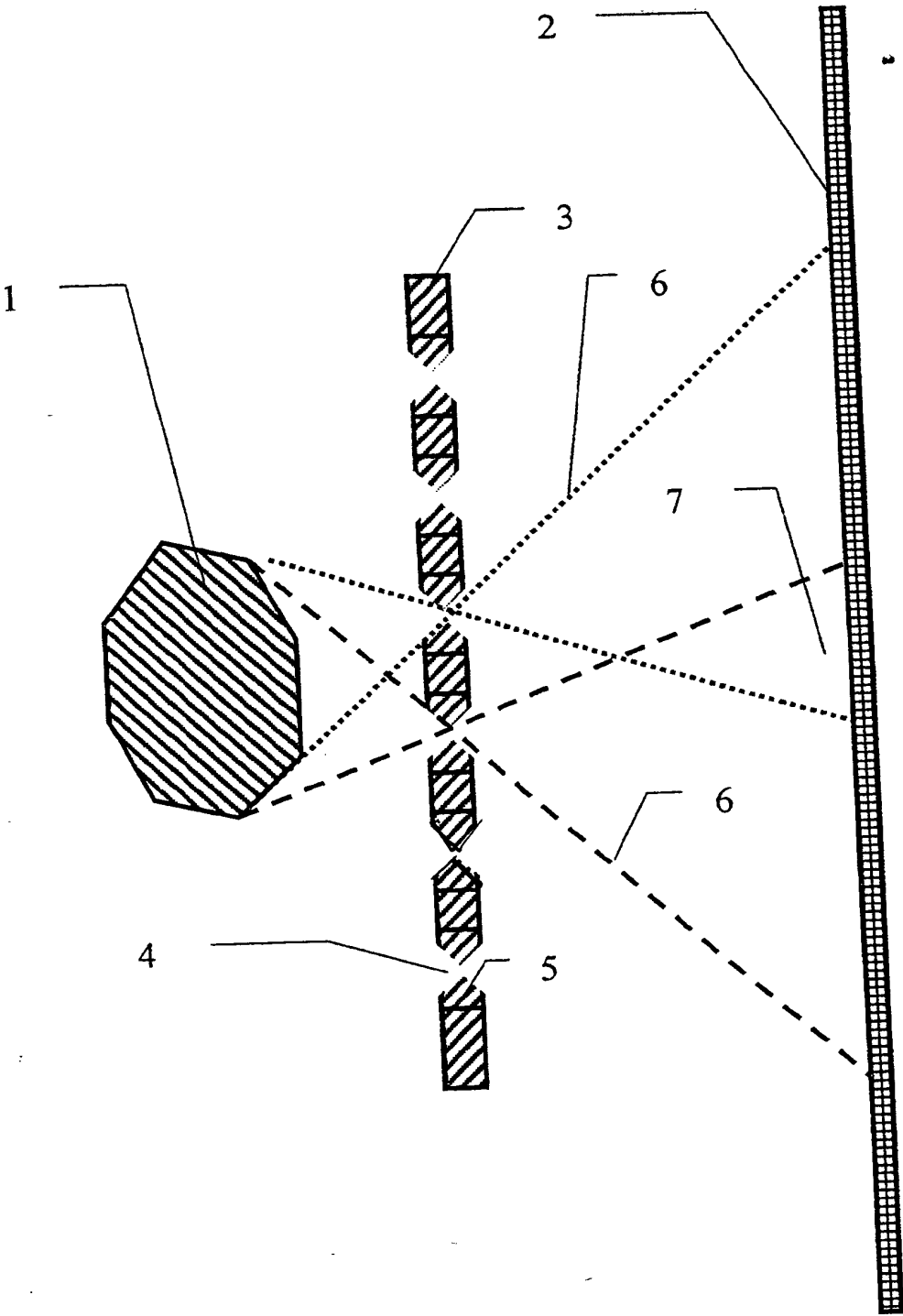
- 5 [0036] In der Figur weisen die Löcher 4 untereinander gleichmäßige Abstände auf. In einer Ausgestaltung der Erfindung sind die Abstände unregelmäßig.

Patentansprüche

- 10 1. Vorrichtung zur Durchführung eines tomographischen Verfahrens, insbesondere zur Durchführung einer Einzelphotonen-Tomographie, mit einem Multi-Loch-Kollimator (3) und einem Detektor zur Erfassung von Gammaquanten oder Photonen (6), die durch den Multi-Loch-Kollimator hindurchtreten.
2. Vorrichtung nach Anspruch 1 bei der der Abstand zwischen einem Halter für ein Objekt (1) und dem Multi-Loch-Kollimator (3) kleiner ist als der Abstand zwischen dem Multi-Loch-Kollimator (3) und der Oberfläche (2) des Detektors.
- 15 3. Vorrichtung nach Anspruch 1 oder 2, bei der der Multi-Loch-Kollimator (3) aus Wolfram und/oder Iridium besteht, wobei vorzugsweise an die Löcher (4) angrenzenden Bereiche (5) aus Iridium bestehen.
4. Vorrichtung nach einem der vorgehenden Ansprüche, bei dem die Löcher (4) trichterförmig in den Multi-Loch-Kollimator (3) einmünden.
- 20 5. Verfahren zur Durchführung eines tomographischen Verfahrens umfassend eine Vorrichtung mit den Merkmalen nach einem der vorhergehenden Vorrichtungsansprüche, bei dem der Abstand zwischen dem Objekt (1) und dem Multi-Loch-Kollimator (3) kleiner gewählt wird als der Abstand zwischen dem Multi-Loch-Kollimator (3) und der Oberfläche (2) des Detektors.
- 25 6. Verfahren nach dem vorhergehenden Anspruch, bei dem die Abstände der einzelnen Löcher im Multi-Loch-Kollimator (3) sowie die Größe und Lage des Objekts (1) so gewählt sind, dass sich die durch Gammaquanten oder Photonen (6) gebildeten Kegel auf der Oberfläche (2) des Detektors teilweise überschneiden und zwar insbesondere bis zu 30%.
7. Verfahren nach einem der vorhergehenden Verfahrensansprüche, bei dem ein Rekonstruktionsverfahren verwendet wird, gemäß dem unterschiedliche Verteilungen der Radiopharmaka im Objekt (1) angenommen werden, hieraus Messergebnisse berechnet werden, die die angenommenen Verteilungen erzielen würden, und als Rekonstruktionsergebnis die angenommene Verteilung ausgewählt wird, deren berechnetes Messergebnis am besten mit dem erhaltenen Messergebnis übereinstimmt.
- 30

Hierzu 1 Seite(n) Zeichnungen

– Leerseite –



**This Page is Inserted by IFW Indexing and Scanning
Operations and is not part of the Official Record**

BEST AVAILABLE IMAGES

Defective images within this document are accurate representations of the original documents submitted by the applicant.

Defects in the images include but are not limited to the items checked:

- ☐ **BLACK BORDERS**
- ☐ **IMAGE CUT OFF AT TOP, BOTTOM OR SIDES**
- ☐ **FADED TEXT OR DRAWING**
- ☐ **BLURRED OR ILLEGIBLE TEXT OR DRAWING**
- ☐ **SKEWED/SLANTED IMAGES**
- ☐ **COLOR OR BLACK AND WHITE PHOTOGRAPHS**
- ☐ **GRAY SCALE DOCUMENTS**
- ☐ **LINES OR MARKS ON ORIGINAL DOCUMENT**
- ☐ **REFERENCE(S) OR EXHIBIT(S) SUBMITTED ARE POOR QUALITY**
- ☐ **OTHER:** _____

IMAGES ARE BEST AVAILABLE COPY.

As rescanning these documents will not correct the image problems checked, please do not report these problems to the IFW Image Problem Mailbox.

THIS PAGE BLANK (USPTO)